

10/018178

1 / 17

Fig. 1

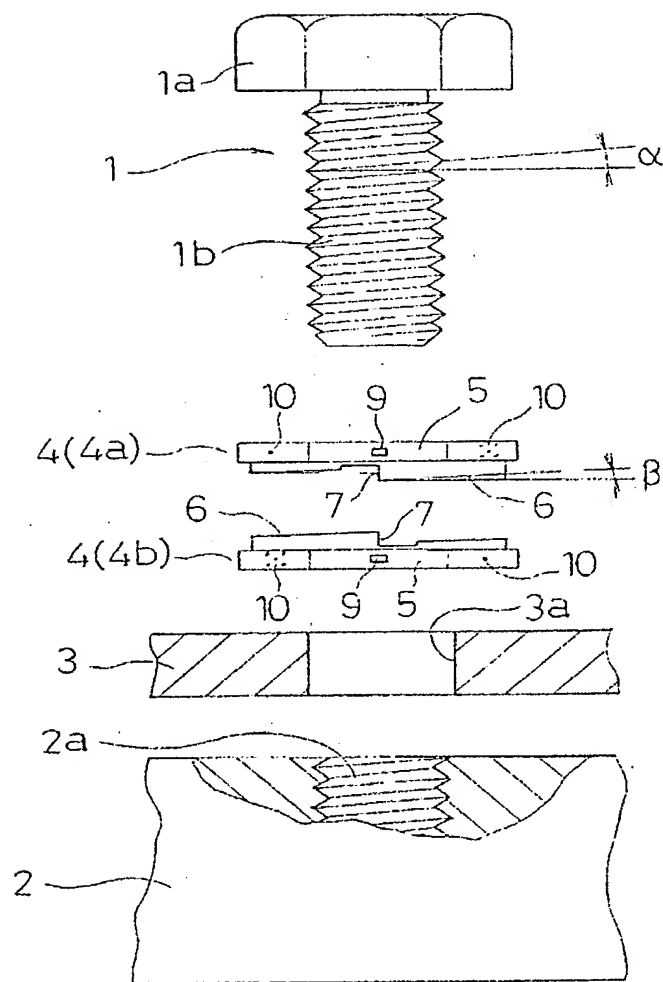
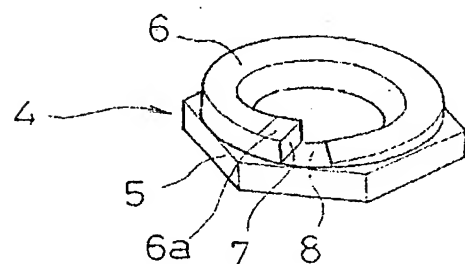


Fig. 2



2 / 17

Fig. 3A

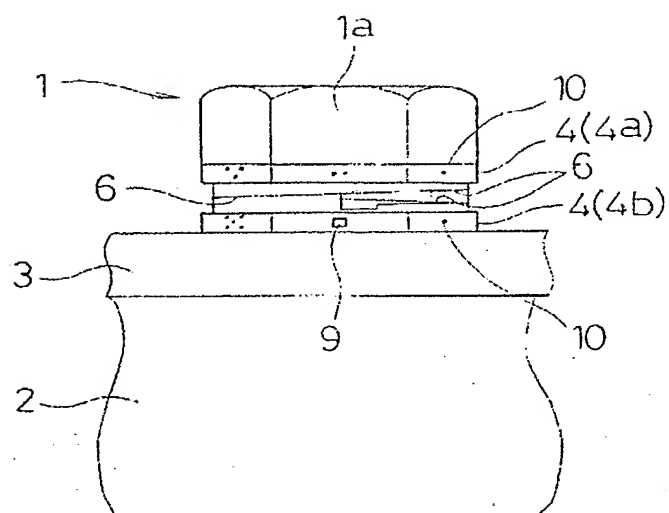
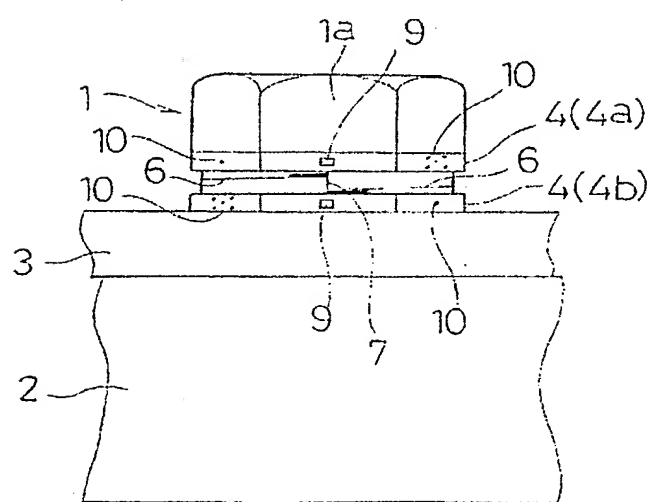


Fig. 3B



10/018178

3 / 17

Fig. 4A

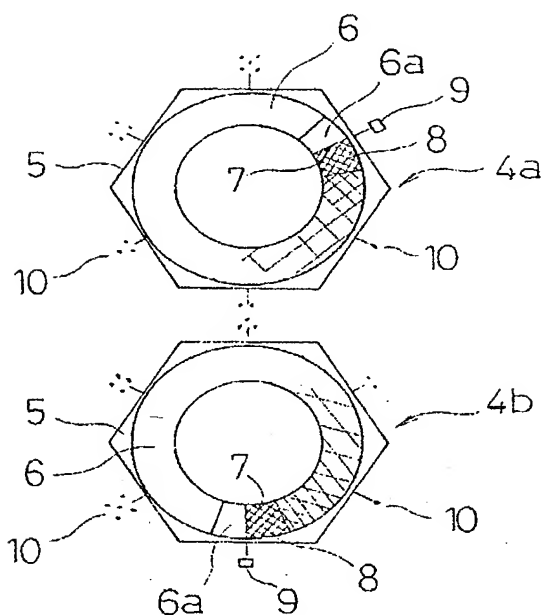
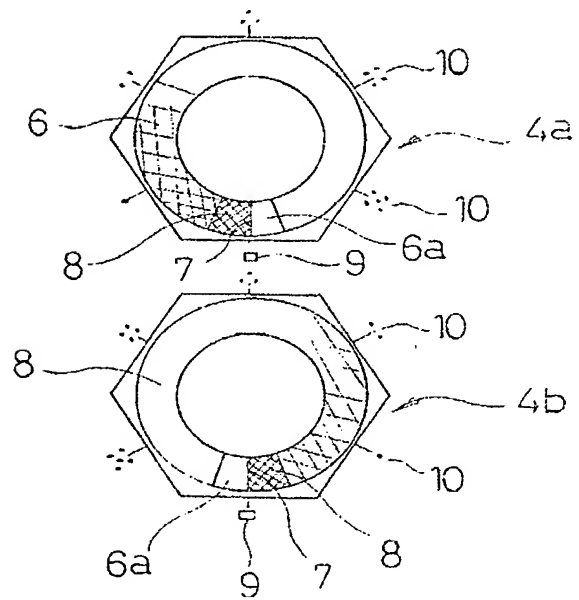


Fig. 4B



4 / 17

Fig. 5

Angle between tier faces (Amount of tightening-rotation)

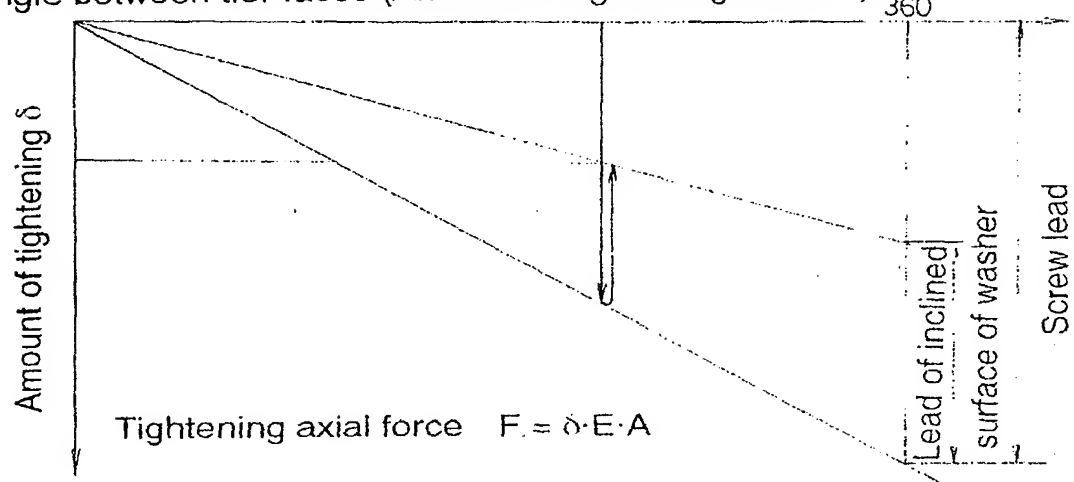
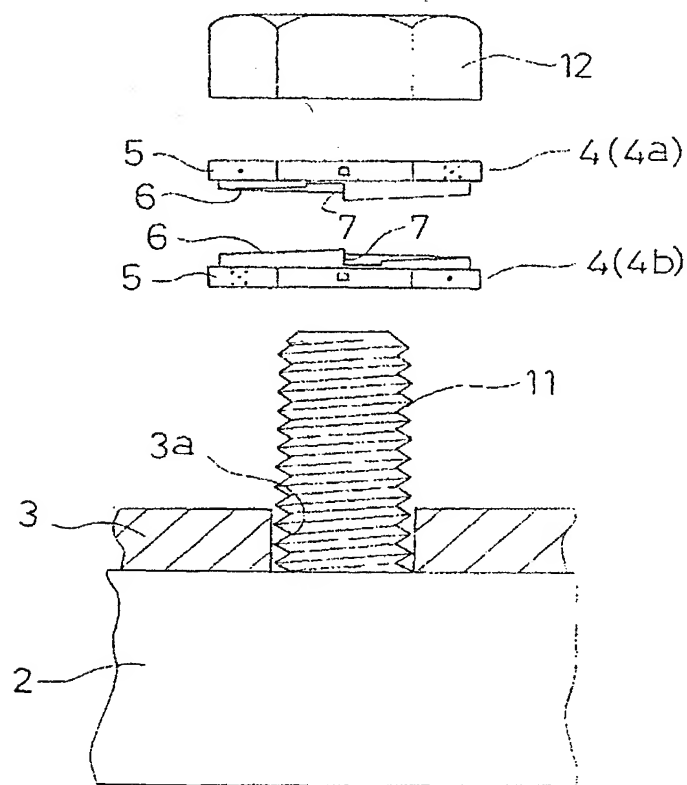


Fig. 6



5 / 17

Fig. 7

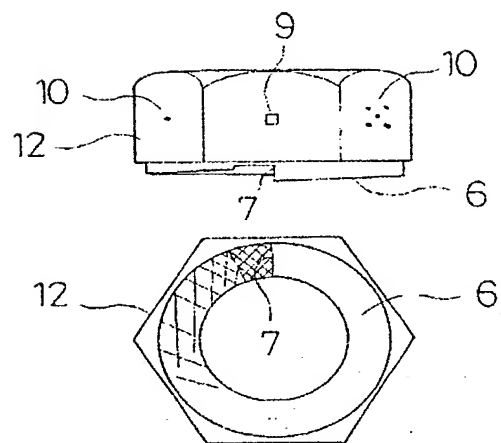
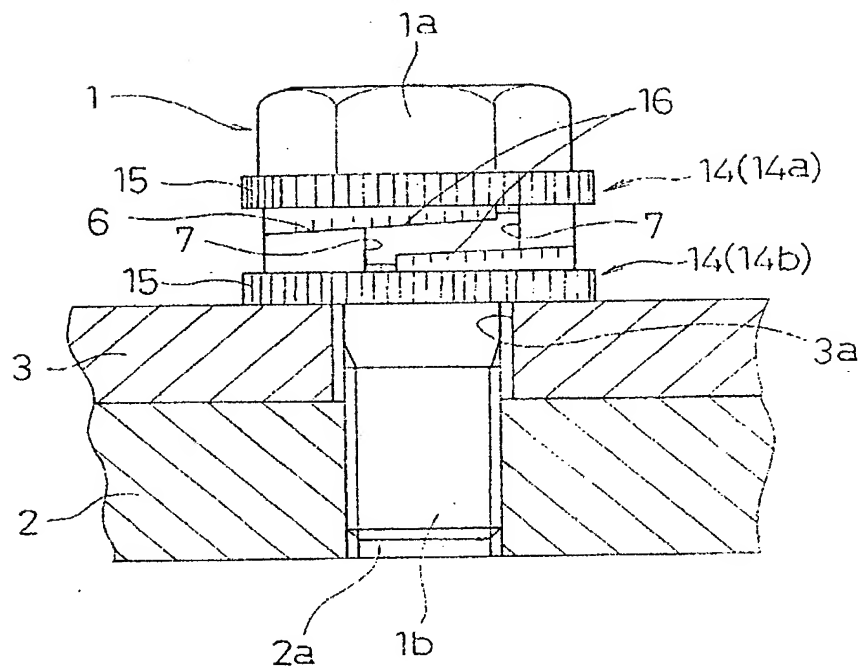


Fig. 8



10/018178

6 / 17

Fig. 9

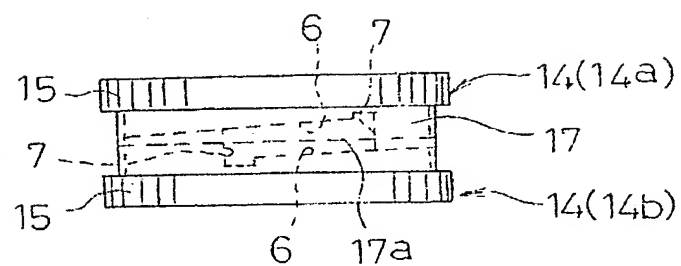


Fig. 10

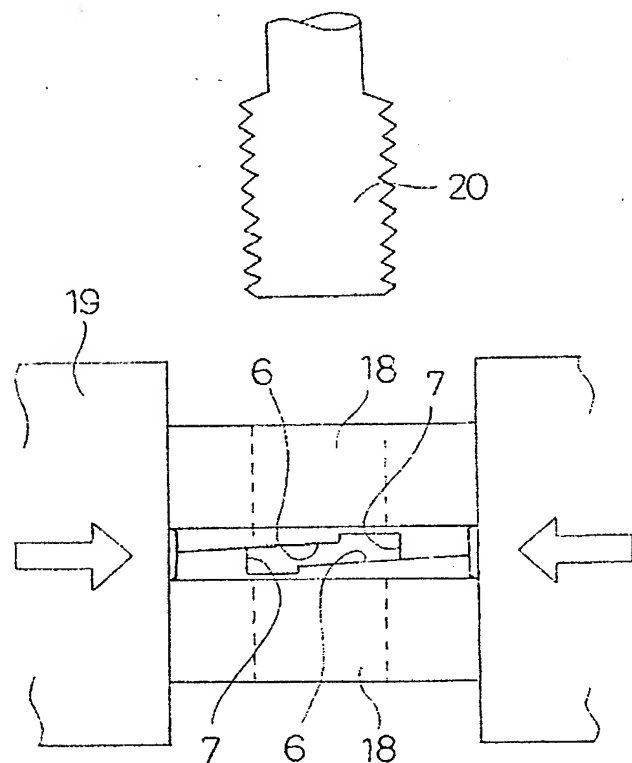
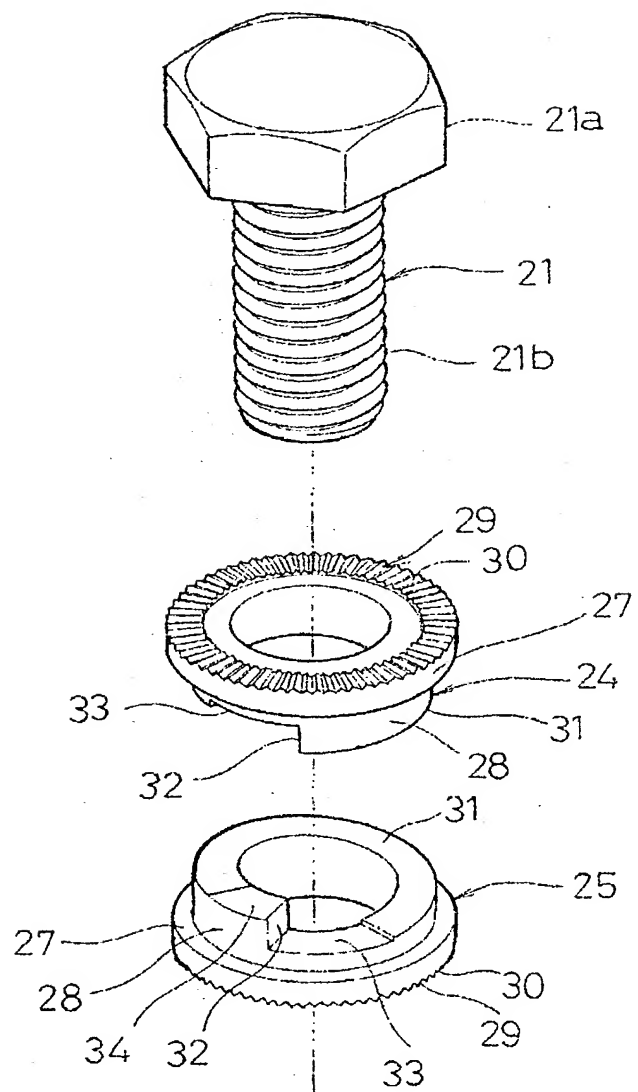


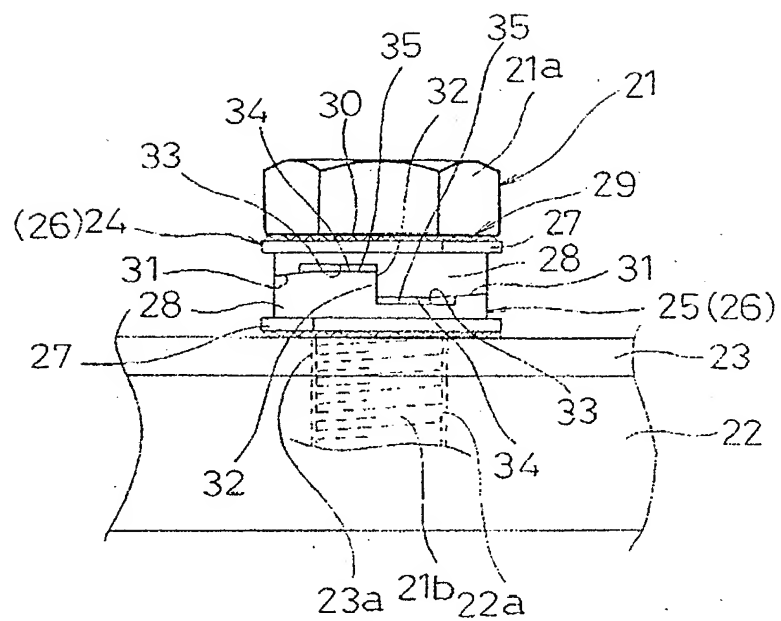
Fig. 11



10/018178

8 / 17

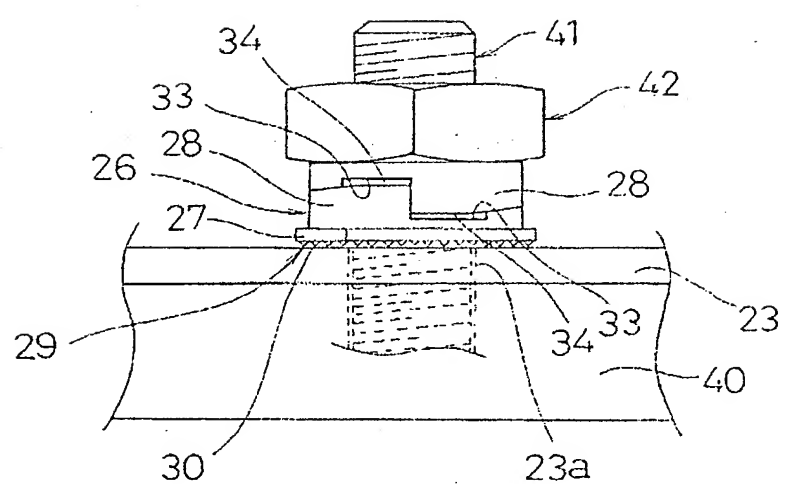
Fig. 12



10/018173

9 / 17

Fig. 13



10 / 17

Fig. 14

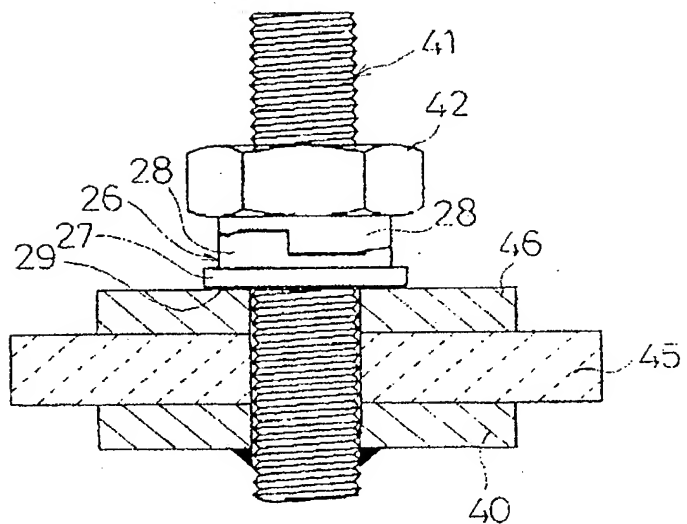


Fig. 15

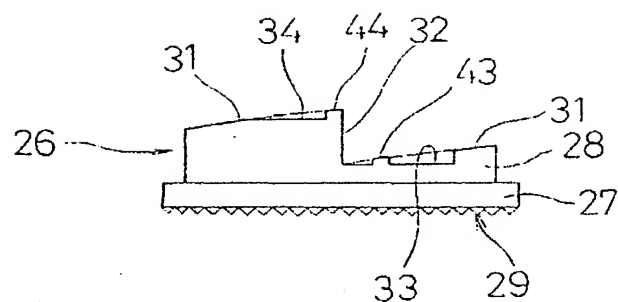


Fig. 16A

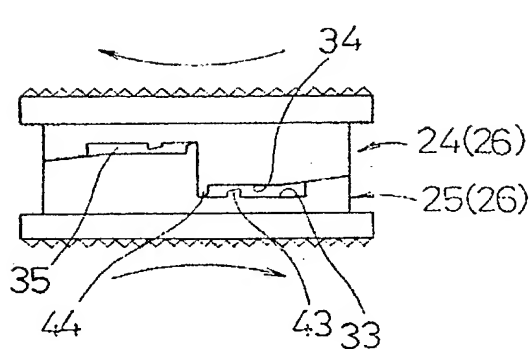
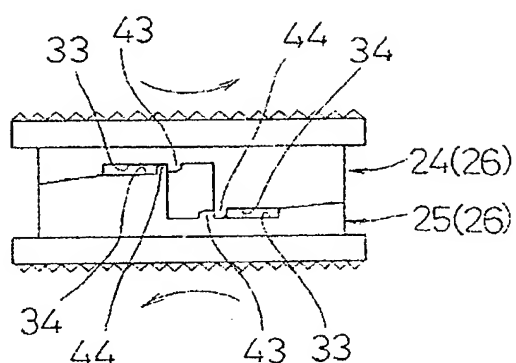


Fig. 16B



10/018178

12 / 17

Fig. 17

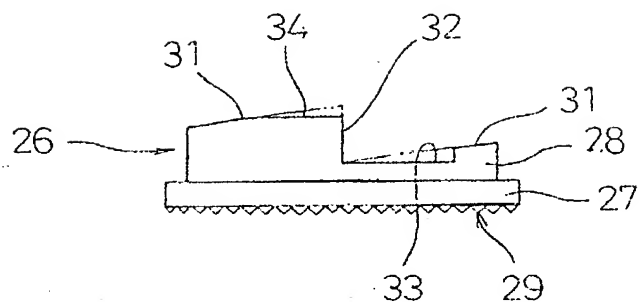


Fig. 18 A

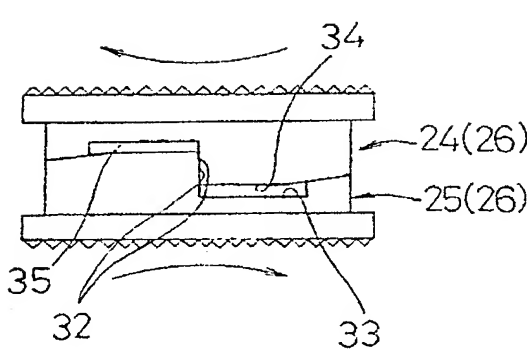
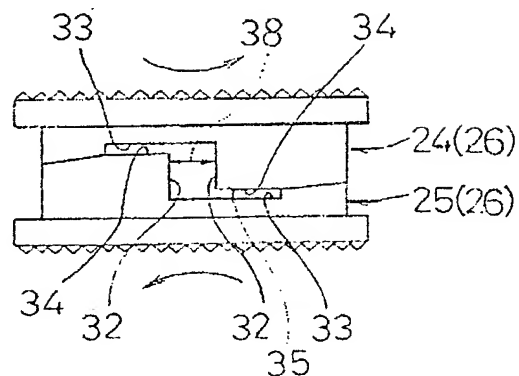


Fig. 18 B



13 / 17

Fig. 19A

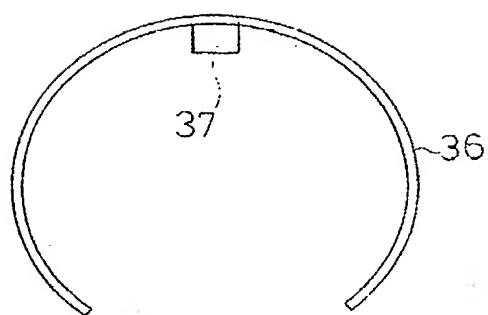


Fig. 19B

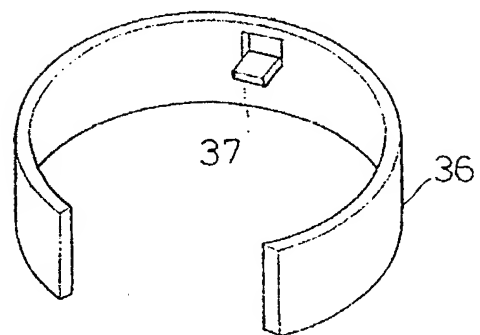


Fig. 20

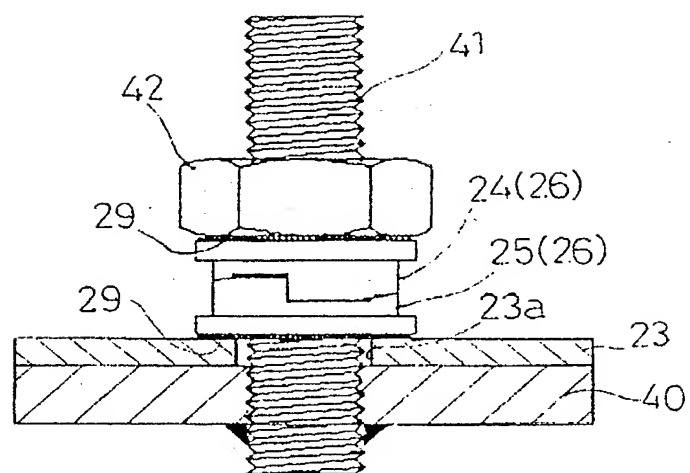


Fig. 21A

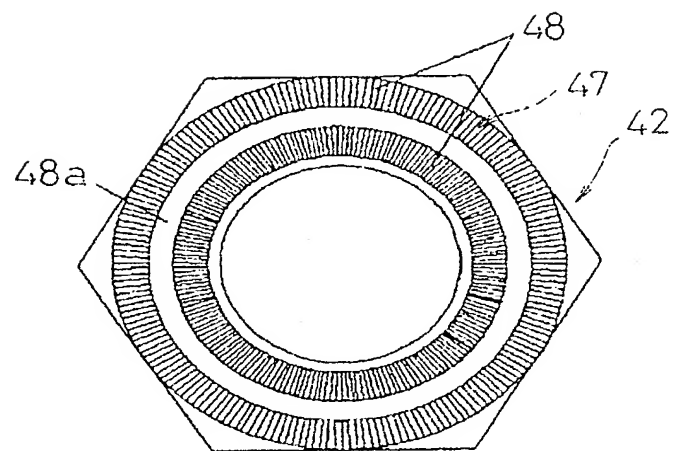
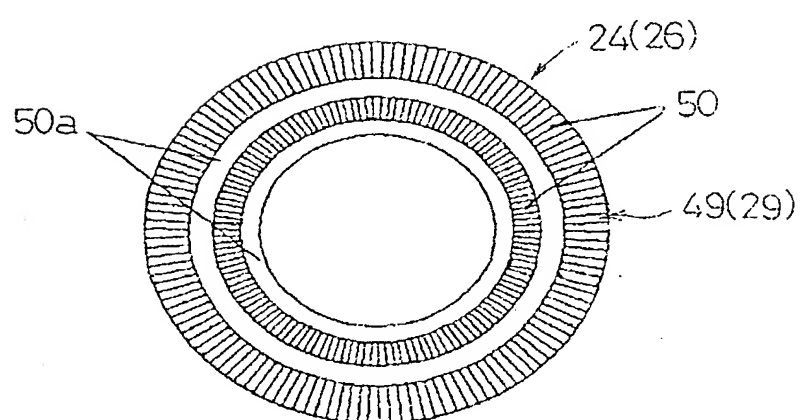


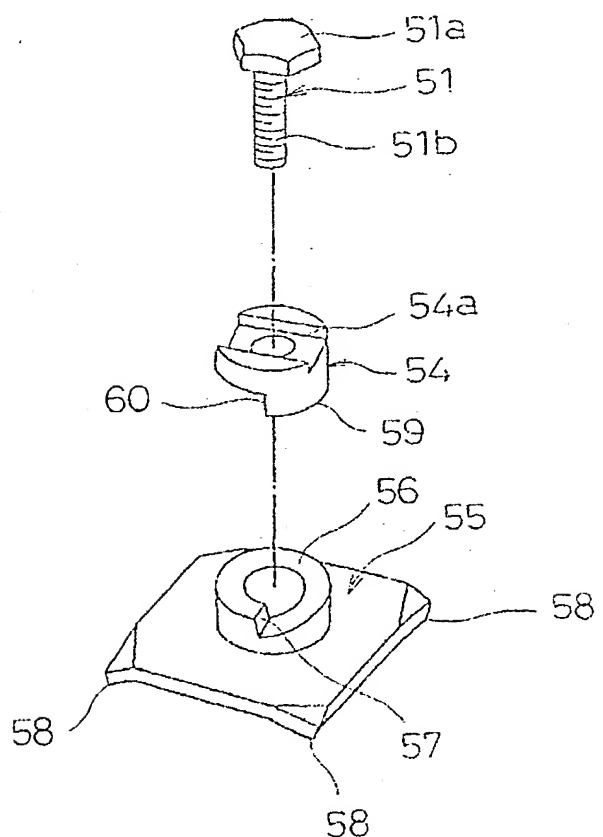
Fig. 21B



10/018178

16 / 17

Fig. 22
Prior Art



Prior Art

Fig. 23A

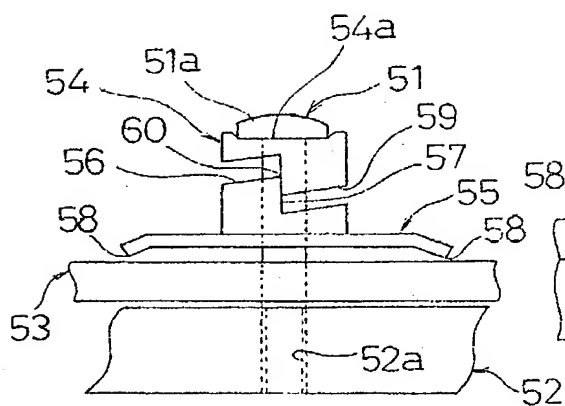


Fig. 23B

